

УДК 539.3

ВОЛНОВЫЕ ПОЛЯ И ЗАПРЕЩЕННЫЕ ЗОНЫ В КВАЗИПЕРИОДИЧЕСКИХ СЛОИСТЫХ КОМПОЗИТАХ¹

*Фоменко С. И.*²

WAVEFIELDS AND BAND-GAPS IN LAYERED QUASI-PERIODICAL COMPOSITES

Fomenko S. I.

Elastic wave propagation in periodically layered composites is under investigation. Wave motion is excited by an incident plane P- or SV- wave. Wavefield is constructed via T-matrix method including explicit singular values of T-matrix. The dependencies of band-gap on layer's thicknesses, type of incident wave and angle of incidence are shown.

Keywords: elastic waves, phononic crystal, T-matrix, stop-band, low transmission pass-band.

Введение

Современные композитные многослойные структуры нашли широкое применение во многих областях промышленности благодаря тому, что обладают порой уникальными, не встречающимися в природе свойствами, которые возникают из-за особого сочетания материалов, входящих в их состав. Состав композитного материала может быть очень разнообразным, структура — обычно периодическая или стохастическая со специальными свойствами.

К классу композитных материалов относятся и так называемые фононные кристаллы. Они схожи с фотонными кристаллами тем, что состоят из периодических включений в матрицу или слои, но, в отличие от последних, фононные кристаллы являются каналами для распространения и фильтрации акустических или упругих колебаний. Концепция фононных кристаллов появилась в 1990-х годах, являясь во-многом продолжением работ по фотонным кристаллам [1]. Подобно фотонным, фононные кристаллы обладают такими же особыми частотными характеристиками, как запрещенные частотные зоны. В запрещенной зоне распростране-

ние волн через кристалл фактически невозможно. Это явление может быть использовано в широком спектре технологий. Приложения включают в себя упругую или акустическую фокусировку, минимизацию вибрации, звуковую коллимацию, акустическую маскировку, опто-механические преобразования волн в фотонных устройствах, снижение теплопроводности в полупроводниках и др. [2]. Фононные кристаллы могут быть использованы как эффективные звуковые изоляторы для вибрирующих структур, гироскопы или механические резонаторы. Среди фононных кристаллов можно выделить акустические фононные кристаллы с матрицей из жидкости, упругие фононные кристаллы с матрицей сплошного упругого вещества, пьезоэлектрические и магнетонные кристаллы [3]. Кроме того, выделяют одномерные фононные кристаллы, в которых упругие свойства изменяются периодически только в одном направлении, а также двух- и трехмерные периодические структуры [4].

Для решения задач распространения волн в многослойных средах, примером которых является фононный кристалл, разрабатываются и развиваются различные численные методы, такие как расширенный метод

¹Работа выполнена при частичной поддержке РФФИ (№12-01-33011 мол-вед-а и № 13-01-96520 р_юг_a), а также в рамках проекта ФЦП «Научные и научно-педагогические кадры инновационной России» на 2009–2013 гг. (14.В37.21.0387)

²Фоменко Сергей Иванович, кандидат физико-математических наук, старший научный сотрудник Института математики, механики и информатики Кубанского государственного университета; e-mail: sfom@yandex.ru.

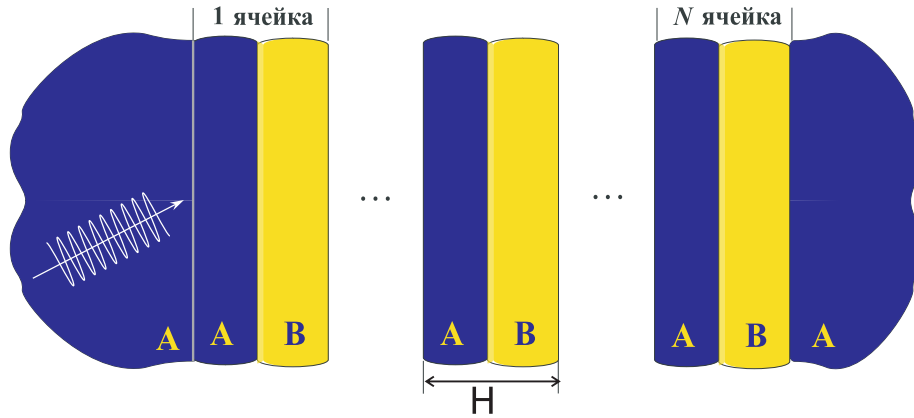


Рис. 1. Постановка задачи

плоских волн [5], метод Т-матриц [6], метод конечных разностей [7], метод граничных интегральных уравнений [8], динамический метод конечных элементов [9] и др.

Наряду с указанными для многослойных сред разработаны методы, основанные на интегральном подходе [10, 11]. Конструкция символа Фурье матрицы Грина и техника поиска полюсов и вычетов в них позволяет вывести асимптотику для волновых полей в дальней зоне [12], что играет ключевую роль в определении динамической реакции материала и в исследовании волновых полей. В отличие от представления классического модального анализа, последний может учитывать не только характеристики материала, но и источника. Асимптотическое представление удобно как для модального, так и для амплитудного анализа. Это становится эффективным инструментом для быстрого параметрического анализа в случае, если имеется достаточно надежный алгоритм для построения матрицы Грина, поиска полюсов и расчета вычетов.

Целью работы является развитие метода моделирования волновых колебаний в периодических слоистых и функционально-градиентных материалах (фононных кристаллов) на основе интегрального подхода и метода Т-матриц, анализ фильтрационных свойств (запрещенных зон) и влияние на них свойств материалов, образующих ячейку кристалла. Она является естественным продолжением работ, начатых в [13].

1. Одномерный фононный кристалл

В фононном кристалле (ФнК), состоящем из N периодически повторяющихся яче-

ек ($a_{i-1} \leq z \leq a_i$), расположенных между двумя упругими полупространствами HS_A и HS_B (рис. 1), приходящей из плоскости $z < 0$ волной $\mathbf{u}_{inc}(x, z) \exp(-i\omega t)$ возбуждаются гармонические колебания на частоте ω . Рассматриваются P - и SV -волны.

Каждая ячейка представляет собой набор из двух однородных изотропных слоев толщины h_A и h_B соответственно, толщина ячейки $H = h_A + h_B$. Таким образом, квазипериодическая структура (ФнК) состоит из N ячеек, занимающих последовательно области $a_{k-1} \leq z \leq a_k$ ($k = 1, 2, \dots, N$). Весь ФнК расположен в пределах $0 \leq z \leq NH$.

Вектор перемещений

$$\mathbf{u} = \{u_x, u_z\} = \{u_1, u_2\}$$

может быть представлен через потенциалы продольных φ и поперечных ψ колебаний

$$u_1 = \partial\varphi/\partial z + \partial\psi/\partial x, \quad u_2 = \partial\varphi/\partial x - \partial\psi/\partial z,$$

удовлетворяющие волновым уравнениям

$$\Delta\varphi - \frac{1}{v_P^2}\ddot{\varphi} = 0, \quad \Delta\psi - \frac{1}{v_S^2}\ddot{\psi} = 0. \quad (1.1)$$

Здесь $v_P = \sqrt{(\lambda + 2\mu)/\rho}$ и $v_S = \sqrt{\mu/\rho}$ — скорости продольных и поперечных колебаний слоя с плотностью ρ и модулями Ламе λ и μ . Тензор напряжений имеет вид $\sigma_{ij} = \lambda u_{k,k} \delta_{i,j} + \mu(u_{i,j} + u_{j,i})$.

На границах слоев $z = z_n$ ($n = 1, 2, \dots, N$) заданы условия непрерывности перемещений и нормальных к границе напряжений, в качестве условия на бесконечности ($|z| \rightarrow \infty$) принимается принцип предельного поглощения.

2. Математическая модель колебаний фононного кристалла

2.1. Плоские колебания фононного кристалла

С помощью преобразования Фурье \mathcal{F}_x по координате x с параметром α решение представляется в виде суперпозиции плоских волн, каждая из которых является решением задачи для падающей плоской волны $\mathbf{U}_{inc}(z, \alpha) \exp(i\alpha x - i\omega t)$, где $\mathbf{U}_{inc} = \mathcal{F}_x[\mathbf{u}_{inc}]$ — преобразование Фурье вектора \mathbf{u}_{inc} .

Тогда потенциалы для задачи с плоскими колебаниями имеют вид

$$\Phi(z, \alpha) \exp(i\alpha x - i\omega t) \text{ и } \Psi(z, \alpha) \exp(i\alpha x - i\omega t).$$

Здесь Φ и Ψ — комплексные амплитуды потенциалов, являющиеся преобразованиями Фурье потенциалов φ и ψ соответственно, имеют следующее общее представление:

$$\begin{aligned} \Phi &= a_1 e^{iq_L z} + a_3 e^{-iq_L z}, \\ \Psi &= a_2 e^{iq_T z} + a_4 e^{-iq_T z}, \end{aligned} \quad (2.1)$$

где $q_L = \varkappa_L \cos \theta_L$ и $q_T = \varkappa_T \cos \theta_T$. В последних соотношениях использованы обозначения: $\varkappa_L = \omega/v_P$, $\varkappa_T = \omega/v_S$ — волновые числа P - и S -волны в рассматриваемой среде, а углы θ_L и θ_T определяются из уравнений

$$\varkappa_L \sin \theta_L = \varkappa_T \sin \theta_T = \alpha.$$

В общем случае θ_{Lk} и θ_{Tk} — комплексные многолистные функции α . Правильный лист следует выбрать, используя один из принципов излучения. Принцип предельного поглощения приводит к следующим необходимым условиям:

$$\operatorname{Re}[\cos \theta_s] \geq 0, \quad \operatorname{Im}[\cos \theta_s] \geq 0, \quad s = L, T.$$

2.2. Метод T -матриц и сингулярные числа T -матрицы ячейки

Коэффициенты прохождения и отражения для многослойного ФнК определяются из условий непрерывности напряжений и смещений на интерфейсах слоев. Для этой цели может быть использован метод матриц переноса (T -матриц) [14], где общая матрица переноса всей структуры из N -ячеек находится как степень $\mathbf{T} = \mathbf{T}_c^N$ матрицы переноса одной ячейки \mathbf{T}_c . В предположении, что ячейка кристалла состоит из L слоев ее

матрица $\mathbf{T}_c = \mathbf{T}_L \cdot \mathbf{T}_{L-1} \cdot \dots \cdot \mathbf{T}_2 \cdot \mathbf{T}_1$ — произведение T -матриц каждого слоя (нумерация слоев — в направлении падающей волны).

Матрица переноса \mathbf{T}_k произвольного слоя $z_{k-1} < z < z_k$ с номером k выражает линейную зависимость между характеристиками произвольной точки поля и его значениями на границе

$$\mathbf{v}(z) = \mathbf{T}_k(z, z_{k-1}) \mathbf{v}(z_{k-1}). \quad (2.2)$$

Здесь $\mathbf{v} = \{U_1, U_2, \Sigma_{12}, \Sigma_{22}\}^T$ — обобщенный вектор-столбец, сформированный из преобразований Фурье компонент комплексных амплитуд смещений \mathbf{u} и горизонтальных напряжений $\boldsymbol{\sigma}_z = \{\sigma_{12}, \sigma_{22}\}$. Матрица \mathbf{T}_k может быть найдена следующим образом:

$$\mathbf{T}_k(z, z_{k-1}) = \mathbf{M}_k \mathbf{E}_k(z - z_{k-1}) \mathbf{M}_k^{-1}.$$

Здесь \mathbf{M}_k — состоящая из 4х вектор-столбцов следующая матрица:

$$\mathbf{M}_k = \left(\mathbf{b}_1^+ \vdots \mathbf{b}_2^+ \vdots \mathbf{b}_1^- \vdots \mathbf{b}_2^- \right), \quad (2.3)$$

$$\begin{aligned} \mathbf{b}_1^\pm &= \{i\varkappa_{Lk} \sin \theta_{Lk}, \pm i\varkappa_{Lk} \cos \theta_{Lk}, \\ &\mp \mu_k \varkappa_{Lk}^2 \sin 2\theta_{Lk}, -\mu_k \varkappa_{Lk}^2 \cos 2\theta_{Lk}\}^T, \end{aligned}$$

$$\begin{aligned} \mathbf{b}_2^\pm &= \{\pm i\varkappa_{Tk} \cos \theta_{Tk}, -i\varkappa_{Tk} \sin \theta_{Tk}, \\ &-\mu_k \varkappa_{Tk}^2 \cos 2\theta_{Tk}, \pm \mu_k \varkappa_{Tk}^2 \sin 2\theta_{Tk}\}^T, \end{aligned}$$

где символ \mathbf{a}^T обозначает, как обычно, операцию транспонирования;

$$\mathbf{E}_k(z) = \operatorname{diag}\{\exp[iq_{Lk} z], \exp[iq_{Tk} z], \exp[-iq_{Lk} z], \exp[-iq_{Tk} z]\}$$

— диагональная матрица перечисленных экспонент.

Используя базис Жордана матрицы перехода ячейки \mathbf{T}_c , общая T -матрица ФнК находится как произведение

$$\mathbf{T} = \mathbf{G}^{-1} \mathbf{\Lambda}^N \mathbf{G},$$

где \mathbf{G} — матрица перехода \mathbf{T}_c к диагональной матрице Жордана $\mathbf{\Lambda} = \operatorname{diag}\{1/\lambda_1, 1/\lambda_2, \lambda_1, \lambda_2\}$, за исключением очень редких и специфических случаев, когда $\lambda_1 = \lambda_2$ и матрица Жордана может иметь треугольный вид.

Пусть $\{r_L, t_L\}$ и $\{r_T, t_T\}$ — амплитудные коэффициенты отраженных и прошедших P - и SV -волн в полуплоскостях рассматриваемой периодической структуры соответственно. Тогда обобщенные вектор \mathbf{v} в нижней и

верхней полуплоскости имеют соответствующий вид:

$$\begin{aligned} \mathbf{v} &= \mathbf{v}_{inc} + r_L \mathbf{v}_{L0}^- + r_T \mathbf{v}_{T0}^- = \\ &= \mathbf{M}^- \mathbf{E}^-(z) \mathbf{h}^-, \quad z \leq 0, \\ \mathbf{v} &= t_L \mathbf{v}_{LN}^+ + t_T \mathbf{v}_{TN}^+ = \\ &= \mathbf{M}^+ \mathbf{E}^+(z) \mathbf{h}^+, \quad z \geq NH. \end{aligned} \quad (2.4)$$

Здесь \mathbf{v}_{inc} — обобщенный вектор падающего поля, вектора $\mathbf{h}^- = \{\delta_L, \delta_T, r_L, r_T\}$ и $\mathbf{h}^+ = \{t_L, t_T, 0, 0\}$ составлены из известных амплитудных коэффициентов падающей волны δ_L и δ_T и неизвестных амплитудных коэффициентов отраженной и прошедшей волн; \mathbf{M}^- и \mathbf{M}^+ — M-матрицы (2.3) нижней и верхней полуплоскости соответственно.

Выделение сингулярных составляющих в решении, вносимых матрицей $\mathbf{\Lambda}^N$, позволяет получить полуаналитическое представление для коэффициентов прохождения

$$\begin{aligned} \{t_L, t_T\} &= \sum_{i=1}^4 \mathbf{m}_i \lambda_i^N / \Delta, \\ \Delta &= \sum_{i=1}^3 \sum_{j=i+1}^4 \Delta_{ij} \lambda_i^N \lambda_j^N, \end{aligned} \quad (2.5)$$

где собственные значения $\lambda_3 = 1/\lambda_1$ и $\lambda_4 = 1/\lambda_2$, а векторы \mathbf{m}_i и коэффициенты Δ_{ij} ($i, j = 1, 2, 3, 4$) выражаются через элементы матриц $\|d_{ij}\| = \mathbf{M}_-^{-1} \mathbf{G}^{-1}$ и $\|e_{ij}\| = \mathbf{G} \mathbf{M}_+$:

$$\begin{aligned} \mathbf{m}_i &= (d_{2i} \delta_L - d_{1i} \delta_T) \{e_{i2}, -e_{i1}\}; \\ \Delta_{ij} &= \begin{vmatrix} d_{1i} & d_{1j} \\ d_{2i} & d_{2j} \end{vmatrix} \cdot \begin{vmatrix} e_{i1} & e_{i2} \\ e_{j1} & e_{j2} \end{vmatrix}. \end{aligned}$$

Амплитудные коэффициенты отраженных волн

$$\{r_L, r_T\} = \sum_{j=1}^3 \sum_{k=j+1}^4 \mathbf{s}_{jk} \lambda_j^N \lambda_k^N / \Delta \quad (2.6)$$

могут быть выражены через компоненты векторов $\mathbf{s}_{jk} = \{s_{1jk}, s_{2jk}\}$

$$\begin{aligned} s_{ijk} &= (e_{j1} e_{k2} - e_{j2} e_{k1}) \times \\ &\times [(d_{i+2j} d_{2k} - d_{i+2k} d_{2j}) \delta_L \\ &\quad - (d_{i+2j} d_{1k} - d_{i+2k} d_{1j}) \delta_T], \\ i &= 1, 2; \quad j, k = 1, 2, 3, 4. \end{aligned}$$

Описанная схема полностью позволяет определить поле в рассматриваемой слоистой структуре при плоских колебаниях. В общем

случае колебания, возбуждаемые падающей гармонической волной \mathbf{u}_{inc} , находятся в форме обратного преобразования Фурье

$$\begin{aligned} \mathbf{u}(x, z) &= \mathbf{u}_{inc}(x, z) H(-z) + \\ &+ \frac{1}{2\pi} \int_{-\infty}^{\infty} \mathbf{G}(\alpha, z) \mathbf{P}_0(\alpha) d\alpha. \end{aligned} \quad (2.7)$$

Здесь $H(z)$ — функция Хевисайда; $\mathbf{G}(\alpha, z)$ — матрица 2×2 , составленная из вектор-столбцов \mathbf{U}_L и \mathbf{U}_T , являющихся решениями алгоритма (2.2)–(2.6) для $\delta_L = 1, \delta_T = 0$ и $\delta_L = 0, \delta_T = 1$ соответственно. Вектор $\mathbf{P}_0 = \{\Phi_{inc}(\alpha, 0), \Psi_{inc}(\alpha, 0)\}$ описывает источник колебаний на нижней границе фононного кристалла, где Φ_{inc} и Ψ_{inc} — преобразования Фурье продольных и поперечных потенциалов падающего поля.

2.3. Запрещенные и разрешенные зоны

Возможно наиболее интересным феноменом, возникающим в фононных кристаллах, являются запрещенные зоны. Запрещенные частотные зоны (ЗЧЗ) — это диапазоны частот, в которых распространение волн и волновой энергии через упругую структуру невозможно. Все другие диапазоны, в которых наблюдается прохождение, называются разрешенными зонами (РЧЗ).

Поиск запрещенных зон может быть осуществлен непосредственным численным анализом коэффициента прохождения. Однако существует более простой и точный подход, основанный на полученном полуаналитическом представлении (2.5).

Пусть для простоты описания собственные значения λ_1 и λ_2 матрицы \mathbf{T}_c выбраны так, чтобы $|\lambda_2| \geq |\lambda_1| \geq 1$. Тогда из (2.5) при $N \rightarrow \infty$ имеем следующую асимптотику:

$$\begin{aligned} \mathbf{x}_t &= \{t_L, t_T\} \sim \\ &\sim (\mathbf{m}_1 \lambda_2^{-N} + \mathbf{m}_2 \lambda_1^{-N}) / (\Delta_{12} \lambda_1^{2N} + \Delta_{23}) \\ &\quad \text{при } N \rightarrow \infty, \end{aligned}$$

которая приводит к трем различным ситуациям, когда $|\mathbf{x}_t| \ll 1$, показанным в таблице. В последнем столбце таблицы приводится асимптотика энергетического коэффициента прохождения κ^+ .

Представленная классификация запрещенных зон с использованием собственных значений согласуется с методом, описанным

Классификация частотных диапазонов возбуждения фононных кристаллов

Тип зоны	Собственные значения T_c	Дополнительные условия	Поведение κ^+ при $N \rightarrow \infty$
ЗЧЗ – I	$ \lambda_2 > 1$ & $ \lambda_1 > 1$	$\mathbf{m}_2 \neq 0$ & $\Delta_{12} \neq 0$	$\kappa^+ = O(\lambda_1 ^{-2N})$
		$\mathbf{m}_2 = 0$ & $\Delta_{12} \neq 0$	$\kappa^+ = O(\lambda_2 ^{-2N})$
ЗЧЗ – II	$ \lambda_2 > 1$ & $ \lambda_1 = 1$	$\mathbf{m}_2 = 0$	$\kappa^+ = O(\lambda_2 ^{-2N})$
РЗМП	$ \lambda_2 > 1$ & $ \lambda_1 = 1$	$0 < w < \varepsilon < 1$ $w = \mathbf{m}_2 / (\Delta_{12} + \Delta_{23} \lambda_1^{-2N}) $	$\kappa^+ = O(w ^2)$
РЧЗ	$ \lambda_2 > 1$ & $ \lambda_1 = 1$	$w > \varepsilon$	$\kappa^+ = O(1)$
	или $ \lambda_2 = 1$		

в работе [15] и основанном на анализе коэффициентов локализации, которые определяются как наименьшее положительное значение показателя Ляпунова. Но здесь классификация получается естественным путем через анализ явного вида асимптотики поля при $N \rightarrow \infty$, кроме того, представленная классификация вводит понятие разрешенной зоны с малым прохождением *РЗМП*, в котором коэффициент прохождения настолько мал, что эти диапазоны можно в приближении рассматривать как запрещенные и использовать в приложениях.

3. Исследование фильтрационных свойств фононных кристаллов

Ниже приводятся результаты анализа влияния относительных толщин слоев ячейки (концентрации материалов), угла падения и типа падающей волны на волновые процессы в рассматриваемой слоистой структуре. В качестве материала *A* рассматривается оксид алюминия ($\rho = 4000$ кг/м³, $E = 400$ гпа, $\nu = 0,231$). Материал *B* — алюминий ($\rho = 2700$ кг/м³, $E = 70$ гпа, $\nu = 0,33$) является более мягким, чем *A*.

Для демонстрации изменения запрещенных и разрешенных зон с вариацией толщин слоев *A* и *B* при фиксированной толщине ячейки $H = h_A + h_B$ на рис. 2 приводятся диаграммы запрещенных зон: по оси абсцисс изменяется отношение $K = h_A/h_B$ между толщинами, по оси ординат — частота колебаний. Для обозначения различных областей принимаются следующие соглашения: незакрашенные области соответствуют разрешенным зонам, области с градиентной

заливкой обозначают запрещенные зоны I типа (ЗЧД-I), заштрихованные области с градиентной заливкой — зоны II типа (ЗЧД-II), тогда как РДМП обозначаются только штриховкой. Насыщенность цвета для зон I или II типов приводится в соответствии со значением коэффициента локализации γ , где $\gamma = \lg \lambda_1$ в случае ЗЧД-I или $\gamma = \lg \lambda_2$ в случае ЗЧД-II. Колебания в рассматриваемой структуре возбуждаются падающей под различными углами ($\theta = 0^\circ$, $\theta = 10^\circ$, $\theta = 60^\circ$ и $\theta = 80^\circ$) плоской *P*-волны (рис. 2а–2г соответственно). С отклонением угла падения *P*-волны от вертикального ($\theta = 0^\circ$) запрещенные зоны II типа исчезают, трансформируются в разрешенные частотные зоны малого прохождения (РЗМП). С увеличением угла падения *P*-волны максимум коэффициента локализации среди всех запрещенных зон уменьшается, однако, при этом РЗМП, напротив, расширяются.

Местоположение, форма и ширина запрещенных зон и РДМП сильно изменяются внутри диапазона $10^{-1} < K < 10$. С увеличением частоты колебаний увеличивается и частота возникновения различных зон, которые с увеличением концентрации одного из материалов становятся более узкими. При $K \rightarrow 0$ или $K \rightarrow \infty$ коэффициент локализации в зонах стремится к нулю, так как среда становится однородной. С увеличением концентрации жесткого материала (*A*) запрещенные зоны смещаются в более высокие частотные диапазоны. Стоит отметить, что для всех приведенных углов падения при достаточно большой концентрации жесткого материала *A* ($K > 10$) запрещенные зоны являются более широкими, чем при большей концентрации мягкого материала ($K < 10^{-1}$).

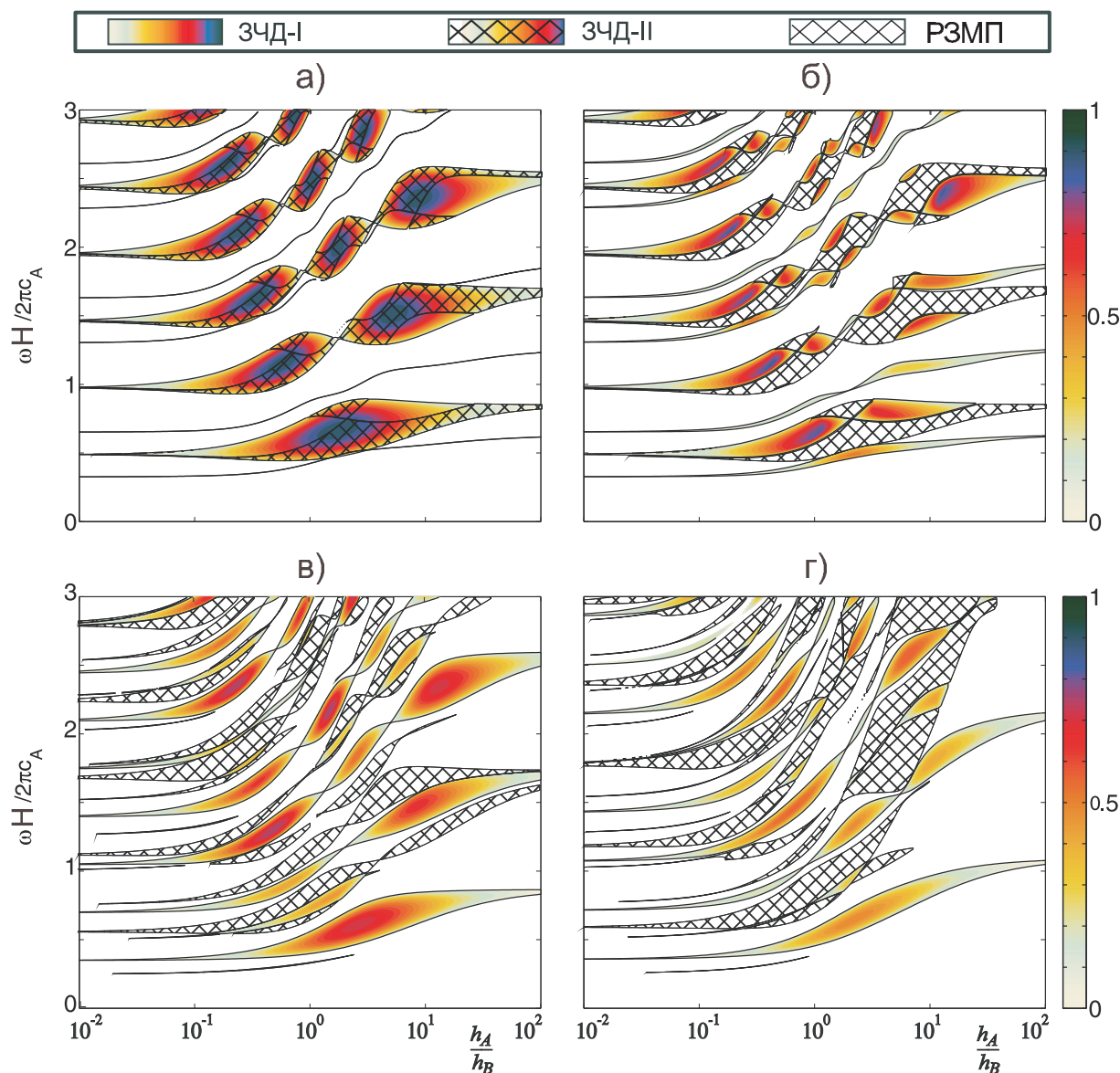


Рис. 2. Зависимость запрещенных зон от отношения толщин слоев ячейки фоновонного кристалла

Присутствие мягкого материала B даже в малых концентрациях ($h_A = 100h_B$) приводит к появлению широких низкочастотных запрещенных зон в квазипериодической упругой структуре.

Литература

1. Kushwaha M. S., Halevi P., Dobrzynski L., Djafari-Rouhani B. Acoustic band structure of periodic elastic composites // *Physics Review Letters*, 1993. Vol. 71. P. 2022–2025.
2. Bilal O. R., Hussein M. I. Ultrawide phononic band gap for combined in-plane and out-of-plane waves // *Physical Review E*, 2011. Vol. 84. P. 065701.
3. Matar O. B., Robillard J. F., Vasseur J. O. et al. Band gap tunability of magneto-elastic phononic crystal // *Journal of Applied Physics*, 2012. Vol. 111. No. 5. P. 054901.
4. Swintek N., Bringuier S., Robillard J.-F. et al. Phase-control in two-dimensional phononic crystals // *Journal of Applied Physics*, 2011. Vol. 110. No. 7. P. 074507.
5. Goffaux C., Vigneron J. P. Theoretical study of a tunable phononic band gap system // *Physical Review B*, 2001. Vol. 64. P. 075118.
6. Yeh J. Y., Chen L. W. Wave propagations of a periodic sandwich beam by FEM and the transfer matrix method // *Composite Structures*, 2006. Vol. 73. P. 53–60.
7. Cao Y. J., Hou Z. L., Liu Y. Y. Finite difference time domain method for band gap calculations

- of two-dimensional phononic crystals // *Solid State Communications*, 2004. Vol. 132. P. 539–543.
8. *Golub M. V., Zhang Ch., Wang Y.-S.* SH-wave propagation and resonance phenomena in a periodically layered composite structure with a crack // *Journal of Sound and Vibration*, 2011. Vol. 330. No. 13. P. 3141–3154.
 9. *Liu Y., Gao L. T.* Explicit dynamic finite element method for band-structure calculations of 2D phononic crystals // *Solid State Communications*, 2007. Vol. 144. P. 89–93.
 10. *Бабешко В. А., Глушков Е. В., Зинченко Ж. Ф.* Динамика неоднородных линейно-упругих сред. М.: Наука, 1989. 344 с.
 11. *Глушков Е. В., Глушкова Н. В., Еремин А. А., Михаськив В. В.* Метод слоистых элементов в динамической теории упругости // *Прикладная математика и механика*, 2009. Т. 73. № 4. С. 622–634.
 12. *Глушков Е. В., Глушкова Н. В., Фоменко С. И., Жанг Ч.* Поверхностные волны в материалах с функционально-градиентными покрытиями // *Акустический журнал*, 2012. Т. 58. № 2. С. 370–385.
 13. *Golub M. V., Fomenko S. I., Bui T. Q. et al.* Transmission and band gaps of elastic SH waves in functionally graded periodic laminates // *International Journal of Solids and Structures*, 2012. Vol. 49. No. 2. P. 344–354.
 14. *Aki K., Richards P. G.* *Quantitative Seismology*. University Science Books, 2002. P. 704.
 15. *Castanier M. P., Pierre C.* Lyapunov exponents and localization phenomena in multi-coupled nearly periodic systems // *Journal of Sound and Vibration*, 1995. Vol. 183. No. 3. P. 493–515.

Ключевые слова: упругие колебания, фононный кристалл, метод Т-матриц, запрещенная зона, разрешенная зона малого прохождение.

Статья поступила 30 сентября 2013 г.

Институт математики, механики и информатики Кубанского государственного университета, г. Краснодар

© Фоменко С. И., 2013